DOI:10.3969/j. issn. 1671-9638. 2017. 04. 021

·病例报告·

糖尿病并发气性坏疽一例报道并文献复习

Diabetes complicated with gas gangrene: a case report and review of literature

简 丽(JIAN Li)¹,何阳杰(HE Yang-jie)¹,李启富(LI Qi-fu)²,贾蓓(JIA Bei)²,赵启全(ZHAO Qi-quan)¹ (1 大足区人民医院,重庆 大足 402360;2 重庆医科大学附属第一医院,重庆 400016)

(1 People's Hospital of Dazu District, Dazu, Chongqing 402360, China; 2 The First Affiliated Hospital of Chongqing Medical University, Chongqing 400016, China)

[关 键 词] 糖尿病;气性坏疽;大肠埃希菌;合并感染

[中图分类号] R515.9 [文献标识码] E [文章编号] 1671-9638(2017)04-0372-04

大肠埃希菌是肠杆菌科中常见的细菌,为革兰阴性杆菌,能发酵多种糖类产酸、产气。本例患者为大肠埃希菌感染所致背部皮下软组织,脾脏后缘、左肾后方、左侧后腹部、盆腔及左下肢大量积气、积液,其临床表现为气性坏疽,在大肠埃希菌感染病例中实属罕见,故结合文献复习与大家分享,以提高对糖尿病合并产气细菌感染的认识。

1 病例

患者,女性,58岁,2015年7月7日因 "左侧腰部包块 10 d,左下肢肿痛 5 d"入院。3 月前确 诊为2型糖尿病,间断不规律服用格列齐特缓释胶囊 2 mg,1 次/d,二甲双胍片 0.85 g,2 次/d,参芪降糖 胶囊 1 粒,3 次/d 等药物。饮食控制差,血糖控制情 况不详。10 d前,患者无明显诱因出现左侧腰部包块 伴胀痛,中下腹部疼痛,于当地卫生院输液治疗无明 显好转,包块迅速增大,伴胀痛。5 d前,患者逐渐出 现左下肢肿胀、麻木、疼痛不适,伴左下肢活动障碍, 恶心、呕吐,遂来我院就诊。既往无外伤及手术史。 体格检查:体温 36.5℃,脉搏 98 次/分,呼吸 20次/分,血压 83/57 mmHg,体重指数17.89 kg/m², 精神淡漠,脱水貌,颜面无水肿,双肺未闻及干湿啰 音。心界不大,律齐,各瓣膜听诊区未闻及明显杂音。 左侧腰部可见大小约为 15 cm×10 cm 包块,质硬,边 界清楚,无明显波动感,皮温稍高,包块顶部皮肤发 红,无破溃,无流脓及渗液,包块周围皮下可扪及明显 捻发感。左下肢重度水肿,左下肢大腿周径较右下肢 大腿周径大 3 cm, 左下肢小腿周径较右下肢小腿周 径大5 cm,活动障碍伴疼痛。辅助检查:甲状腺功能、 肌钙蛋白、心肌酶谱、凝血功能基本正常;尿培养阴 性。血常规:白细胞计数 19.73×10°/L,中性粒细胞 百分比 97.80%,红细胞计数 3.04×10¹²/L,血红蛋白 89.00 g/L。血沉 77.00 mm/h,C 反应蛋白134 mg/L, 降钙素原 65. 66 ng/mL, 尿常规: 酮体 +-(0.5 mmol/L),白细胞++(125 cells/μL),尿蛋白 +(0.3 g/L),亚硝酸盐 +。肝功能:丙氨酸氨基 转移酶(ALT)、天门冬氨酸氨基转移酶(AST)基本 正常,总蛋白 59.50 g/L,清蛋白 29.40 g/L;粪便常 规:白细胞+;肾功能:肌酐 146.75 µmol/L;电解质:钾 4.2 mmol/L,钠 122.00 mmol/L,氯86.00 mmol/L。随 机静脉血糖为 14.1 mmol/L,糖化血红蛋白 9.90%,D 二聚体3.37 μg/mL。肿瘤标志物 7 项: 细胞角蛋白 19 片段 4.46 ng/mL,铁蛋白 1 293.47 ng/mL,糖类抗原-125 110.80 U/mL。 血气分析:pH 7.41, 二氧化碳压修正23.80 mmHg, 氧分压修正 154.80 mmHg。心电图:窦性心率, ST-T 改变。腹部彩超: 肝大, 双肾实质回声稍增 强;左侧腰部包块彩超:左侧腰部皮下异常稍强回声 区,软组织感染灶可能;双下肢动静脉彩超:未见明 显异常。骨盆平片:(1)骶尾椎左侧似呈受压改变, 余骨盆骨质未见明显破坏及吸收征象;(2)腰3椎体 稍变扁。腰椎骨质增生。(3)左侧股骨上段稍旋转, 体位关系所致可能,建议结合 CT 检查。入院诊断:

[收稿日期] 2016-04-06

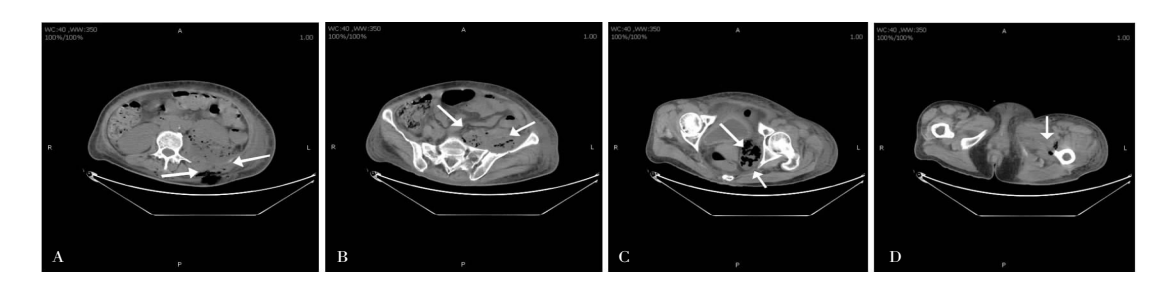
[作者简介] 简丽(1987-),女(汉族),四川省内江市人,医师,主要从事细菌耐药及腺病毒载体的研究。

[通信作者] 赵启全 E-mail:316318057@qq.com

(1)2 型糖尿病;(2)气性坏疽。

1.2 治疗经过 给予大量补液,多巴胺维持血压,静脉胰岛素降血糖,静脉输注白蛋白纠正低蛋白血症,注射哌拉西林/他唑巴坦钠、奥硝唑氯化钠等抗感染治疗。2015 年 7 月 9 日腹部及盆腔 CT 平扫(见图 1):(1)背部皮下软组织散在气体密度影,脾脏后缘、左肾后方、左侧后腹部、盆腔气体密度影和积液,考虑感染性病变(脓肿?产气菌感染?);(2)左侧肾脏改变,考虑炎症性改变可能,建议 CT 增强扫描。7 月 10 日患者血压基本正常,停用多巴胺。患者左侧腰部包块逐渐软化,顶部皮肤呈暗红色,皮肤无破溃,无渗血渗液,可触及明显波动感,周围皮下仍可触及明显捻发感。抽取脓液进行细菌涂片,细菌有氧及厌氧培养。细菌涂片及革兰染色结果提示主要为革兰阴性杆菌,少许革兰阳性球菌。脓液细

菌培养结果提示为大肠埃希菌。复查肾功能、C 反应蛋白基本正常;白细胞计数 10.40×10°/L,中性粒细胞百分比 87.90 %,血红蛋白64.00 g/L,血沉64.00 mm/h;电解质:钾6.38 mmol/L,钠140.27 mmol/L,氯 117.56 mmol/L。给于降钾治疗,院内会诊讨论后建议患者立即转外科切开清创,但患者家属拒绝转外科切开清创治疗。改用美罗培南注射1 g,q8h,奥硝唑氯化钠 0.5 g,q12h,抗感染治疗。7 月 11 日复查电解质基本正常;血常规:白细胞计数 10.30×10°/L,中性粒细胞百分比87.40%,血红蛋白73.00 g/L。7 月 13 日患者体温为 37.4℃。7 月 14 日患者腰部包块较入院时明显缩小,大小约5 cm×4 cm,患者及家属商议后转当地镇医院继续治疗,2 个月后随访已好转出院。



A. 背部皮下软组织散在气体密度影: B. 左侧后腹部气体密度影、积液: C. 左侧盆腔气体密度影、积液: D. 股骨内侧积气及周围组织肿胀

图 1 糖尿病并发气性坏疽患者腹部及盆腔 CT 结果

2 讨论

本例患者主要特点为大肠埃希菌及其他细菌混合感染所致左侧腰部、盆腔、左侧大腿大量积气和积液。自发性气性坏疽是由败毒梭菌引起的严重感染,以肌坏死和产气为特点,起病急,进展快,临床表现为捻发音[1]。该患者临床表现与气性坏疽酷似,以下我们将结合自发性气性坏疽及本病例进行讨论。

大肠埃希菌和产气肠杆菌都是肠杆菌科中常见的细菌,均为革兰阴性杆菌,大小约 0.5×(1~3)μm 微米,能发酵多种糖类产酸、产气,是人和动物肠道及土坡、乳品和污水中常见细菌,一般不致病或为条件致病菌。当机休免疫功能低下时,可侵入血液引起败血症、心包炎、胸膜炎、腹膜炎,而引起大量积气、积液者罕见。但国内文献也曾有相关文献报道,如 1 例肝炎后肝硬化合并产气肠杆菌感染引起气性坏疽[²²; 1 例患者肝硬化合并糖尿病未控制

血糖出现严重感染,行清创术,术中见沿股骨全段周围肌肉间积脓伴积气(约 1 000 mL),留液培养为产气肠杆菌感染^[3];1 例直肠癌患者培养为星座链球菌^[4],均未能培养出产气梭菌。糖尿病患者糖代谢紊乱,是感染的易发生人群,因此,治疗糖尿病患者时要警惕产气肠杆菌引起的严重感染。

败毒梭菌引起的气性坏疽常见于肿瘤及抵抗力较差的患者,如恶性肿瘤、糖尿病、外周血管病、静脉药瘾、营养不良等患者^[5-6]。感染部位不一定有外伤,通常认为感染通过胃肠道入血,进一步血行播散,称为自发性气性坏疽。美国每年约有新发气性坏疽患者 1 000 例,其中 10%的气性坏疽患者为自发性(非创伤性),多由败毒梭菌引起^[7-9]。研究者们从败毒梭菌分离出 4 种毒素:致死性 α 毒素、DNA酶β毒素、透明质酸酶 γ 毒素和巯基活性溶素 δ 毒素^[10-11]。 α 毒素为败毒梭菌的主要毒力因子,可导致血管内溶血及组织坏死^[12]。败毒梭菌是发酵厌氧菌,可以依靠多种底物,如糖、氨基酸和其他有机

化合物生存,通过细胞呼吸产生氢气和二氧化碳作 为副产物,二氧化碳和氢气可以移动到组织层,导致 组织层分离,产生特征性的可触及的气肿,组织间隙 恶臭脓液形成,感染部位呈现从品红到古铜色样颜 色[13-14]。Panikkath 等[15]报道 1 例血液系统恶性肿 瘤患者化学治疗后出现左侧大腿轻微红斑及轻压 痛,立即予以广谱抗菌药物抗感染,左大腿数小时内 出现广泛变色,予以急诊手术,术中可见组织广泛性 坏死及大量气体,患者出现血压不可控制性下降,最 终死亡,血标本提示败毒梭菌感染。Abella等[16]报 道1例前列腺癌化学治疗后放射性肠炎患者,既往 有糖尿病和高血压病,以右肩轻微疼痛为主要表现 入院,入院后右手臂数小时内出现水泡,及皮下捻发 感,考虑气性坏疽,急诊手术截肢后患者再次出现胸 壁感染,准备再次手术时患者由于败血症及急性肾 衰竭而死亡。Mirza 等[17]报道 1 例结直肠癌患者并 发自发性气性坏疽。自发性气性坏疽在我国鲜有报 道,其中1例为糖尿病合并睾丸自发性气性坏疽 患者[18]。

自发性气性坏疽的主要症状包括疼痛,体征不相称的沉重感或压力感,心动过速,低血压,组织坏死引起水肿和缺血,从而导致代谢性酸中毒,发热,肾衰竭,其他还可能出现弥散性血管内凝血(DIC)及溶血等。经典体格检查表现为捻发感,血常规提示白细胞和中性粒细胞均升高,影像学主要表现为大量气体产生。本例患者存在糖尿病,临床表现、查体及各种检查结果和气性坏疽的临床及检查结果高度相似。但患者疾病进展速度较自发性气性坏疽慢,背部出现局限隆起,顶部皮肤为红色,其余皮肤为正常肤色,与败毒梭菌感染皮肤颜色不符。该患者细菌涂片及革兰染色未发现革兰阳性梭菌,主要为革兰阴性杆菌,少许革兰阳性球菌,细菌培养为大肠埃希菌,该患者预后较自发性气性坏疽好,故不支持自发性气性坏疽。

该患者存在糖尿病,机休免疫功能低下时,产气杆菌感染可导致感染性休克,组织间隙大量积脓伴积气。大肠埃希菌为兼性需氧菌,主要产生可溶性的CO2气体,无特殊臭味[1]。细菌涂片及革兰染色主要为革兰阴性杆菌,少许革兰阳性球菌,细菌培养结果为大肠埃希菌,故考虑为大肠埃希菌与其他细菌混合感染所致。不排除由于标本取样、送检过程不规范及实验室技术较差等原因未培养出其他细菌。

综上所述,提高对糖尿病合并产气细菌感染的 认识,重视其临床表现的多样性,规范标本取样、送 检,提高实验室技术,有利于早期诊断。产气细菌感染为严重感染所致消耗性疾病,需积极支持治疗,包括输血及白蛋白等治疗。该患者为多重耐药菌感染,需要及时隔离,避免传播。临床工作中提高对糖尿病合并特殊细菌感染的认识,做到早期诊断,考虑气性坏疽时需注意可能存在大肠埃希菌及其他细菌的混合感染,抗感染治疗效果欠佳时需联合用药,使用覆盖大肠埃希菌的抗菌药物,进行及时有效地处理,降低病死率。

[参考文献]

- [1] 梭菌性肌坏死(气性坏疽)诊治专家组. 梭菌性肌坏死(即气性坏疽)诊治意见[J]. 浙江医学,2008,30(6): 664-666.
- [2] 范钟璘, 田春铎. 肝硬化失代偿合并产气杆菌感染—例[J]. 青海医学院学报,1993,(1): 45.
- [3] 何立东,吕慧萍,吕焕昌. 酷似气性坏疽的产气肠杆菌感染一例[J]. 中华内科杂志,2010,49(7): 605.
- [4] 王治,蔡林,胡昊,等.全身多处自发性气性坏疽—例[J].临床外科杂志,2009,17(4):267.
- [5] El-Masry S. Spontaneous gas gangrene associated with occult carcinoma of the colon: a case report and review of literature [M]. Int Surg, 2005, 90(4): 245-247.
- [6] Larson CM, Bubrick MP, Jacobs DM, et al. Malignancy, mortality, and medicosurgical management of Clostridium septicum infection[J]. Surgery, 1995, 118 (4): 592 - 597.
- [7] Dylewski J, Drummond R, Rowen J. A case of *Clostridium septicum* spontaneous gas gangrene[J]. CJEM, 2007, 9(2): 133-135.
- [8] Delbridge MS, Turton EP, Kester RC. Spontaneous fulminant gas gangrene[J]. Emerg Med J, 2005, 22(7): 520 521.
- [9] Clark LA, Moon RE. Hyperbaric oxygen in the treatment of life-threatening soft-tissue infections[J]. Respir Care Clin N Am, 1999, 5(2): 203-219.
- [10] Koransky JR, Stargel MD, Dowell VR Jr. *Clostridium septicum* bacteremia. Its clinical significance[J]. Am J Med, 1979, 66(1): 63-66.
- [11] Ballard J, Bryant A, Stevens D, et al. Purification and characterization of the lethal toxin (alpha-toxin) of *Clostridium septicum*[J]. Infect Immun, 1992, 60(3): 784 790.
- [12] Stevens DL, Bryant AE. The role of clostridial toxins in the pathogenesis of gas gangrene[J]. Clin Infect Dis, 2002, 35 (Suppl 1): S93 S100.
- [13] Smith-Slatas CL, Bourque M, Salazar JC. *Clostridium septicum* infections in children: a case report and review of the literature[J]. Pediatrics, 2006, 117(4): e796 e805.
- [14] Gabay EL, Rolfe RD, Finegold SM. Susceptibility of *Clostridium septicum* to 23 antimicrobial agents [J]. Antimicrob Agents Chemother, 1981, 20(6): 852-853.

(下转第 382 页)

- and typing of *Clostridium difficile* during institutional outbreaks[J]. J Clin Microbiol, 2011, 49(5): 1983 1986.
- [26] Bakker D, Corver J, Harmanus C, et al. Relatedness of human and animal *Clostridium difficile* PCR ribotype 078 isolates based on multilocus variable-number tandem-repeat analysis and tetracycline resistance [J]. J Clin Microbiol, 2010, 48(10): 3744 3749.
- [27] Fawley WN, Wilcox MH. An enhanced DNA fingerprinting service to investigate potential *Clostridium difficile* infection case clusters sharing the same PCR ribotype[J]. J Clin Microbiol, 2011, 49(12): 4333 4337.
- [28] Janvilisri T, Scaria J, Thompson AD, et al. Microarray identification of *Clostridium difficile* core components and divergent regions associated with host origin[J]. J Bacteriol, 2009, 191(12); 3881-3891.
- [29] Manzoor SE, Tanner HE, Marriott CL, et al. Extended multilocus variable-number tandem repeat analysis of *Clostridium difficile* correlates exactly with ribotyping and enables identification of hospital transmission[J]. J Clin Microbiol, 2011, 49(10): 3523-3530.
- [30] Wei HL, Kao CW, Wei SH, et al. Comparison of PCR ribotyping and multilocus variable-number tandem-repeat analysis (MLVA) for improved detection of Clostridium difficile[J]. BMC Microbiol, 2011, 11: 217.
- [31] Indra A, Huhulescu S, Schneeweis M, et al. Characterization of *Clostridium difficile* isolates using capillary gel electrophoresis-based PCR ribotyping[J]. J Med Microbiol, 2008, 57(Pt 11): 1377 1182.
- [32] 靳颖,王俊妨,崔云涛,等. 基质辅助激光解析飞行时间质谱 在临床病原菌检测中的应用进展[J]. 中国感染与化疗杂志, 2014,12(3):238~240.
- [33] Fenselau C, Demirev PA. Characterization of intact microorganisms by MALDI mass spectrometry [J]. Mass Spectrom Rev, 2001, 20(4): 157-171.
- [34] Rettinger A, Krupkal, Grünwald K, et al. Leptospira spp. strain identification by MALDI TOF MS is an equivalent tool to 16S rRNA gene sequencing and multi locus sequence typing (MLST)[J]. BMC Microbiol, 2012, 12; 185.
- [35] Rizzardi K, Åkerlund T. High molecular weight typing with

- MALDI-TOF MS-A novel method for rapid typing of *Clostridium difficile* [J]. PLoS One, 2015, 10 (4): e0122457.
- [36] Zadoks R, van Leeuwen W, Barkema H, et al. Application of pulsed-field gel electrophoresis and binary typing as tools in veterinary clinical microbiology and molecular epidemiologic analysis of bovine and human Staphylococcus aureus isolates [J]. J Clin Microbiol, 2000, 38(5): 1931 1939.
- [37] Huang B, Zhao D, Fang NX, et al. An optimized binary typing panel improves the typing capability for *Campylobacter jejuni*[J]. Diagn Microbiol Infect Dis, 2013, 77(4): 312 315.
- [38] Croucher NJ, Harris SR, Fraser C, et al. Rapid pneumococcal evolution in response to clinical interventions [J]. Science, 2011, 331(6016): 430-434.
- [39] Harris SR, Clarke IN, Seth-Smith HM, et al. Whole-genome analysis of diverse *Chlamydia trachomatis* strains identifies phylogenetic relationships masked by current clinical typing [J]. Nat Genet, 2012, 44(4): 413-419.
- [40] Dannheim H, Riedel T, Neumann-Schaal M, et al. Manual curation and reannotation of the genomes of Clostridium difficile 630∆erm and C. difficile 630[J]. J Med Microbiol, 2017, 66(3): 286 - 293.
- [41] Metzker ML. Sequencing technologies-the next generation[J]. Nat Rev Genet, 2010, 11(1): 31 46.
- [42] He M, Miyajima F, Roberts P, et al. Emergence and global spread of epidemic healthcare-associated *Clostridium difficile* [J]. Nat Genet, 2012, 45(1): 109 113.
- [43] Köser CU, Ellington MJ, Cartwright EJ, et al. Routine use of microbial whole genome sequencing in diagnostic and public health microbiology [J]. PLoS Pathog, 2012, 8 (8): e1002824.
- [44] Eyre DW, Golubchik T, Gordon NC, et al. A pilot study of rapid benchtop sequencing of *Staphylococcus aureus* and *Clostridium difficile* for outbreak detection and surveillance[J]. BMJ Open, 2012, 2(3), pii: e001124.

(本文编辑:熊辛睿)

(上接第 374 页)

- [15] Panikkath R, Konala V, Panikkath D, et al. Fatal Clostridium septicum infection in a patient with a hematological malignancy[J]. Proc (Bayl Univ Med Cent), 2014, 27(2): 111 – 112.
- [16] Abella BS, Kuchinic P, Hiraoka T, et al. Atraumatic Clostridial myonecrosis: case report and literature review [J]. J Emerg Med, 2003, 24(4): 401-405.
- [17] Mirza NN, McCloud JM, Cheetham MJ. Clostridium septic-

- um sepsis and colorectal cancer a reminder[J]. World J Surg
 Oncol, 2009, 7: 73.
- [18] 马丽珍, 詹宇红, 张楚. 糖尿病继发阴囊非创伤性气性坏疽 1 例并文献复习[J]. 全科医学临床与教育,2008,6(3):248-249,251.

(本文编辑:左双燕)